

CARACTERIZAÇÃO DE FASES EM CARBETO DE BORO DENSIFICADO

Ana H. A. Bressiani, F.C.L. de Melo* e J. C. Bressiani

Instituto de Pesquisas Energéticas e Nucleares - IPEN - CNEN/SP

05422-970 C.P. 11049 - São Paulo - SP

* Centro Técnico Aeroespacial - IAE-AMR

12.228-904 São José dos Campos- S.P.

Carbeto de boro é um material com diversas aplicações estruturais, mas de difícil densificação - havendo a necessidade do uso de aditivos de sinterização^[1]. Este trabalho faz parte de um estudo de densificação de carbeto de boro com diferentes aditivos, onde as amostras são caracterizadas por difratometria de raios X, microscopia óptica e eletrônica de varredura^[2,3,4]. Para avaliação detalhada das fases formadas durante a sinterização (distribuição e fases em pequenas quantidades) foram escolhidas 2 amostras para observação por microscopia eletrônica de transmissão. A preparação das amostras foi feita por desbaste mecânico (dimpler) e iônico (canhão de íons - Ar / 6kV), sendo bastante demorada devido a alta dureza do material. A caracterização cristalina das fases foi realizada por difração eletrônica de área selecionada em MET JEM 200-C e a identificação dos diagramas com auxílio do programa DIFPAT desenvolvido no Metals Technology Laboratories, Energy Mines and Resources, Otawa, Canada.

As amostras analisadas foram : 1. HPBCAlB - com composição 82,64 B₄C; 4,33 C; 4,36 B₂O₃ e 8,67 Al₂O₃ - % em peso, prensada uniaxialmente a quente a 1800 °C / 20 MPa / 1 h e densidade relativa de 96% e, 2. SPBC com composição de 95 B₄C e 5 C - % em peso, sinterizada a 2200 °C / 1 h e densidade relativa de 97 %.

Na amostra obtida por prensagem a quente (HPBCAlB) foram identificadas as fase - Al₁₈B₄O₃₃ e grafite, além do B₄C, por difração de raios X^[4]. Por microscopia eletrônica de transmissão observa-se tamanho de grãos bem reduzido (dm ~ 5 μm) e fase secundária nos contornos de grão e pontos triplos (figura 1). Por difração de área selecionada foram identificadas as seguintes fases secundárias : Al₁₈B₄O₃₃ (rede ortorrômbica, a = 0,7687 nm; b = 1,5013 nm e c = 0,5564 nm) e α-Al₂O₃ (rede hexagonal, a = 0,4758 nm e c = 1,2991 nm) - em grandes quantidades, e boro metálico (rede tetragonal, a = 1,010 nm e c = 1,428 nm) em poucos pontos triplos.

Na amostra SPBC foram identificadas as fases B_4C e grafite por difratometria de raios X. Nessa amostra, por MET (figura 2) observa-se crescimento sensível dos grãos em relação à amostra HPBCAlB, mas sem crescimento anormal dos grãos, devido a presença de excesso de grafite - que permite a densificação e a redução do crescimento anormal dos grãos^[5]. Por difração de elétrons de área selecionada observa-se a presença de $Al_{18}B_4O_{33}$, Al_2O_3 , B_2O_3 (rede cúbica, $a = 1,0055\text{ nm}$) e carbono (rede hexagonal, $a = 0,2463\text{ nm}$ e $c = 0,6714\text{ nm}$).

A presença de compostos contendo alumínio na amostra SPBC, e de quantidade desses mesmos compostos acima do esperado devido a adição de Al_2O_3 na amostra HPBCAlB é proveniente da contaminação dos insumos pelos meios de moagem utilizados.

Exemplos das fases cristalinas observadas são apresentados a seguir : fig. 3 - grão de carbeto de boro, $B = [1 -1 -2]$; fig.4 - grafite nos contornos de grão, parcialmente orientada; fig.5 - $Al_{18}B_4O_{33}$, $B = [-2,4,-3]$; fig. 6 - Al_2O_3 , $B = [0\ 4\ 3]$ e fig.7 - B_2O_3 , $B \approx [1\ -1\ 0]$.

Agradecimentos

Os autores agradecem aos programas PADCT / FINEP e RHAE pelo suporte financeiro de parte deste trabalho.

Referências

- [1]. Thévenot, F. Boron Carbide - A comprehensive Review. State of the Art. J. of Eur. Ceram. Soc. 6 (1990) 655-61.
- [2]. Melo, F.C.L.; Silva, C.R.M e Bressiani, J.C. Estudo da sinterização de carbeto de boro. Anais do 34 congresso Brasileiro de Cerâmica, 322-327 (1990), Blumenau.
- [3]. Melo, F.C.L.; Silva, C.R.M.; Bressiani, J.C. e Bressiani, Ana H.A. Caracterização microestrutural de carbeto de boro. Anais do 11 Cbecimat, Águas de Lindóia, SP, a ser publicado.
- [4]. Melo, F.C.L. Efeito de aditivos na sinterização de carbeto de boro, Tese de doutorado, IPEN - 1994 - São Paulo, SP.
- [5]. Henney, J.W. and Jones, J.W.S. Sintered of boron carbide containing free carbon, Brit. Pat. 2, 014, 193 (1978).

1

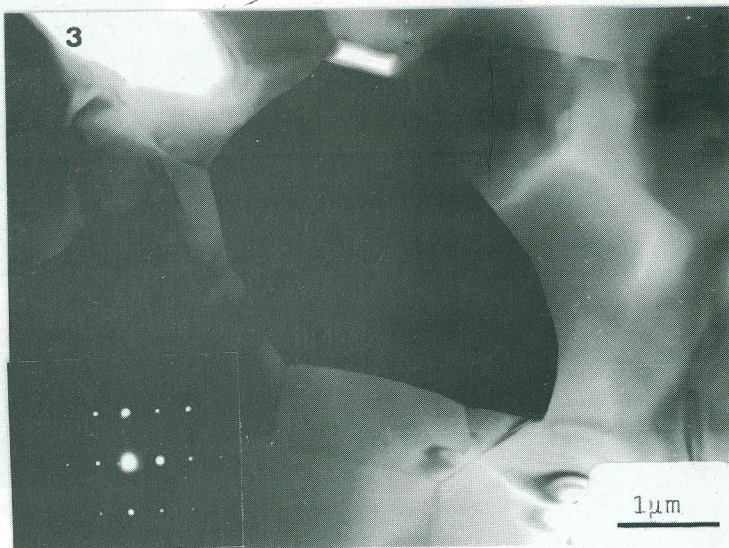


2



$2\mu\text{m}$

3



$1\mu\text{m}$

